

155

30

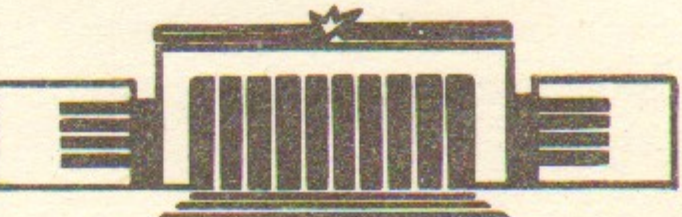


институт ядерной физики со ан ссср

Е.С.Глускин, П.П.Ильинский, Г.Я.Кезерашвили,  
Г.Н.Кулипанов, В.Ф.Пиндюрин, А.Н.Скринский,  
А.С.Соколов

ИССЛЕДОВАНИЕ ИЗЛУЧЕНИЯ ИЗ СПИРАЛЬНОГО  
ОНДУЛЯТОРА, УСТАНОВЛЕННОГО НА  
НАКОПИТЕЛЕ ВЭПП-2М, КАК ИСТОЧНИКА  
ДЛЯ РЕНТГЕНОВСКОЙ МИКРОСКОПИИ  
И ГОЛОГРАФИИ

ПРЕПРИНТ 83-145



НОВОСИБИРСК

ИССЛЕДОВАНИЕ ИЗЛУЧЕНИЯ ИЗ СПИРАЛЬНОГО ОНДУЛЯТОРА,  
УСТАНОВЛЕННОГО НА НАКОПИТЕЛЕ ВЭШ-2М, КАК ИСТОЧ-  
НИКА ДЛЯ РЕНТГЕНОВСКОЙ МИКРОСКОПИИ И ГОЛОГРАФИИ

Е.С.Глускин, Г.Я.Кезерашвили, Г.Н.Кулишанов,  
В.Ф.Пиндорин, А.Н.Скрипский, А.С.Соколов

Институт ядерной физики СО АН СССР, Новосибирск

П.П.Ильинский

Новосибирский Государственный Университет

АННОТАЦИЯ

В данной работе оцениваются возможности использования  
ондуляторного излучения (ОИ) в голографической микроскопии.  
С целью исследования реальных параметров ондулятора проведены  
абсолютные измерения спектрально-угловой плотности ОИ и экспе-  
рименты по наблюдению пространственной когерентности ОИ.

Появление мощных источников синхротронного излучения (СИ), стимулировало развитие различных видов рентгеновской микроскопии. Наиболее впечатляющие результаты получены в контактной микроскопии /1/, сканирующей микроскопии /2/, развивается микроскопия с использованием элементов рентгеновской оптики: зонных пластинок Френеля /3,4/, многослойных интерференционных зеркал /5/. В последние годы активно обсуждаются /6,7/ и продемонстрированы принципиальные возможности рентгеновской голографической микроскопии /8,9,10,11/.

Важным достоинством голографической микроскопии является то, что контрастность голограммы (при оптимальном подборе опорного освещения) не зависит прямо от контрастности образца и может оставаться высокой даже для очень слабопоглощающих и слабофазосдвигавших образцов, поскольку центральная часть прошедшего пучка несет лишь малую долю голографической информации (о форме объекта), и часто эту часть можно просто не регистрировать. Кроме того, по голограмме может быть одновременно определено и продольное положение элементов объекта.

Анализ требований к источникам рентгеновского излучения для различных схем рентгеновской микроскопии, в том числе и голографической, показывает /6/, что полное число "полезных" квантов от источника определяется только спектральной яркостью источника  $B_\lambda$

$$\dot{N}_\lambda = B_\lambda \cdot \lambda^2 \cdot \frac{\Delta\lambda}{\lambda} \quad (I)$$

Необходимость монохроматизации излучения, однако, ограничивает возможности использования пучков СИ из поворотных магнитов, т.к. монохроматоры, как правило, "портят" фазовую плотность пучка квантов, поскольку полоса пропускания монохроматора  $\Delta\lambda/\lambda$  определяет вносимый в поток квантов разброс углов  $\Delta\theta \sim \Delta\lambda/\lambda$ . Вот почему для рентгеновской голографии представляет принципиальный интерес использование, не требующих предварительной монохроматизации, сверхярких пучков рентгеновского излучения из одуляторов.

Как показано в ряде работ /12,13,14,15,16/ одуляторное излучение (ОИ) обладает рядом новых свойств по сравнению с СИ. Одудлятор, состоящий из  $N$  периодов испускает квазимонохрома-

тическое излучение в  $N \cdot N^2$  раз большей спектральной яркости. Кроме того, ОИ характеризуется высокой степенью монохроматичности ( $\Delta\lambda/\lambda \sim 1/N$ ) и ярко выраженной угловой направленностью ( $\Delta\theta \sim 1/\gamma\sqrt{N}$ ). Эти свойства позволяют без применения монохроматора, выбором оптимального размера диафрагмы добиться высокой интенсивности без существенного ухудшения монохроматичности ОИ. Эффективные размеры источника ОИ определяются параметрами электронного пучка в накопителе.

Во вторых, следует заметить, что в последнее время, в основном благодаря развитию технологии рентгенолитографии, появилось достаточно большое количество рентгенорезистов – пленок различных материалов (в основном органического происхождения), скорость травления которых зависит от дозы рентгеновского излучения, поглощенной в единице объема рентгенорезиста (типичная величина от 10 мДж/см<sup>3</sup> до 500 Дж/см<sup>3</sup>). Пространственный рельеф, получаемый на рентгенорезисте после травления, можно считывать с помощью сканирующего электронного микроскопа. В области мягкого рентгеновского излучения ( $\lambda \sim 50-100 \text{ \AA}$ ) рентгенорезисты имеют прекрасное пространственное разрешение (50-200  $\text{\AA}$ ) и чувствительность, приближающуюся к чувствительности идеального детектора, когда минимальная регистрируемая доза соответствует поглощению 1-10 квантов в элементарной ячейке объема резиста, линейные размеры которой равны пространственному разрешению.

Использование ондулятора в качестве источника рентгеновского излучения и рентгенорезиста в качестве регистратора открывает новые возможности для работ по рентгеновской микроголографии. В данной работе экспериментально исследуются параметры ОИ, из реального ондулятора, определяющие его использование в голографических схемах.

Не углубляясь в детали теоретического анализа характеристик ОИ, ранее проделанного в ряде работ /12, 16/ напомним характеристические спектрально-угловые свойства ОИ. Как известно,  $n$ -ая гармоника ОИ от отдельного электрона, наблюдаемая под углом  $\theta$  к оси ондулятора, имеет длину волны  $\lambda_n$  и спектральную ширину ( $\Delta\lambda/\lambda$ )<sub>n</sub>, определяемы соотношениями:

$$\lambda_n = \frac{\lambda_0}{2n\gamma^2} \cdot (1 + K^2 + \gamma^2\theta^2), \quad (\frac{\Delta\lambda}{\lambda})_n = \frac{1}{N \cdot n}, \quad \Delta\theta_{\lambda_n} = \frac{1}{\gamma\sqrt{Nn}} \quad (2)$$

где  $\gamma = \frac{E_e}{m_e c^2}$  – релятивистский фактор электронов,  $K = 0,0934 \cdot \lambda_0 \text{ (см)} \cdot H_0 \text{ (Гц)}$  – параметр ондуляторности,  $\lambda_0$  – длина магнитного периода ондулятора,  $H_0$  – амплитуда магнитного поля на оси ондулятора,  $N$  – полное число магнитных периодов.

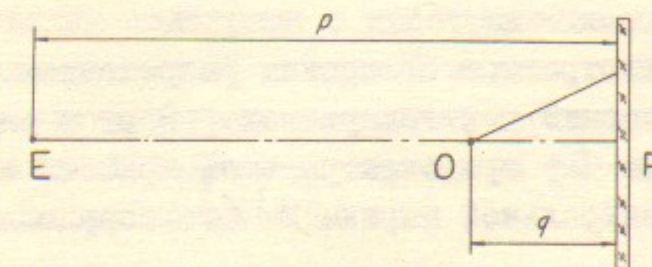


Рис. I. Схема получения осевой голограммы:

$P$  – расстояние между источником излучения ( $E$ ) и экраном-регистратором ( $R$ );

$q$  – расстояние между объектом ( $O$ ) и экраном ( $R$ ).

Для дальнейшего рассмотрения возможности использования ОИ в голографии выберем конкретный пример – схему осевой голографии Габора-Фраунгофера (пример малоугловой рентгеновской голографии с использованием ОИ рассмотрен в /18/. Схема получения осевой рентгеновской голограммы представлена на рис. I. Основные соотношения для разрешающей способности этой голографической схемы: ( $P \gg q$ )

а) поперечное разрешение  $\delta_L$ , обусловленное поперечными размерами источника излучения  $\delta_x, \delta_y$

$$\delta_L \approx \frac{q\delta}{P}, \quad \delta = \max[\delta_x, \delta_y] \quad (3)$$

б) поперечное разрешение, обусловленное разрешающей способностью экрана-регистратора  $\delta_R$

$$\delta_L \approx \delta_R \quad (4)$$

в) поперечное разрешение, обусловленное монохроматичностью используемого излучения  $\Delta\lambda/\lambda$ :

$$\delta_1 \approx \frac{1}{2} \sqrt{q \lambda \cdot \frac{\Delta \lambda}{\lambda}} \quad (5)$$

г) продольное разрешение  $\delta_{||}$ , обусловленное монохроматичностью излучения  $\Delta \lambda / \lambda$ :

$$\delta_{||} \approx \frac{q}{4} \cdot \frac{\Delta \lambda}{\lambda} \approx \frac{\delta_1^2}{\lambda} \quad (6)$$

В качестве экрана-регистратора с высоким разрешением в схеме используется органический рентгенорезист. В этом случае время экспозиции голограммы  $t$  при спектральной яркости источника излучения  $B_\lambda$  спектральной ширине  $\Delta \lambda / \lambda$  определяется следующими соотношениями:

$$t \approx \frac{\mathcal{D}}{\mu} \cdot \frac{S}{B_\lambda \cdot \lambda^2 \cdot \frac{\Delta \lambda}{\lambda}} \approx \frac{\mathcal{D}}{\mu} \cdot \frac{q^2}{B_\lambda \cdot \delta_1^2 \cdot \frac{\Delta \lambda}{\lambda}} \approx \frac{\mathcal{D}}{\mu} \cdot \frac{P^2}{B_\lambda \cdot 2\pi \delta_x \delta_y \cdot \frac{\Delta \lambda}{\lambda}} \quad (7)$$

где  $\mathcal{D}$  - объемная доза экспозиции резиста ( $\text{Дж}/\text{см}^3$ ),  $\mu$  - линейный коэффициент поглощения излучения в резисте ( $\text{см}^{-1}$ ),  $S$  - регистрируемая площадь голограммы.

Проделаем численную оценку для использования в качестве источника излучения однодилятора, установленного в прямолинейном промежутке накопителя ВЭШ-2М /17/. Это спиральный однодилятор с длиной магнитного периода  $\lambda_o = 2,4$  см и полным числом периодов  $N = 10$ . Максимальная амплитуда магнитного поля на оси однодилятора  $H_o = 1,3$  кГс. С учетом параметров электронного пучка в месте постановки однодилятора на накопителе ВЭШ-2М при энергии электронов  $E_e = 0,67$  ГэВ (режим с малой связью  $\mathcal{X} = \sqrt{\delta_x \delta_y / \delta_x \delta_x} \ll 1$ )  $\delta_x' = 0,82$  мрад;  $\delta_y' = 0,22$  мрад;  $\delta_x = 0,035$  см;  $\delta_y = 0,00067$  см спектральная яркость однодилятора  $B_\lambda$  с полем  $H_o = 1,3$  кГс на первой гармонике ОИ  $\lambda_1 = 79$  Å при токе 50 мА оценивается как  $B_\lambda = 7,7 \cdot 10^8 \frac{\text{Вт}}{\text{см}^2 \cdot \text{стэр} \cdot \Delta \lambda / \lambda}$

при полной спектральной ширине ОИ  $\Delta \lambda / \lambda = 0,20$ . С другой стороны, оценки спектральной яркости источника, необходимой для получения рентгеновской голограммы с пространственным разрешением  $\sim 500$  Å за время экспозиции 1 с дают величину

$B_\lambda \gtrsim 10^7 \frac{\text{Вт}}{\text{см}^2 \cdot \text{стэр}}$ , полученную без учета дополнитель-

ных потерь излучения в объекте, подложке и т.д. Сравнение с оценками по использованию в рентгеновской голограммии ОИ из поворотных магнитов накопителей с учетом необходимой монохроматизации излучения /18/ еще более подчеркивает перспективность применения ОИ при решении таких задач.

Отметим также принципиальную возможность получения рентгеновских голограмм с пространственным разрешением  $\sim 50$  Å при использовании ОИ с длиной волны  $\sim 50$  Å. Получение еще более высокого пространственного разрешения ( $< 50$  Å) ограничено дифракцией излучения и пробегом фотоэлектронов в существующих рентгенорезистах /19/.

Абсолютные измерения параметров ОИ из спирального однодилятора, установленного на накопителе ВЭШ-2М, проводились при энергии электронов в накопителе  $E_e = 390$  и 510 МэВ в области длин волн 100–300 Å. Амплитуда магнитного поля на оси однодилятора составляла 1,0+1,1 кГс, что соответствует значениям  $K = 0,224+0,247$ . Основная цель данных исследований – проверка соответствия характеристик ОИ требованиям рентгеновской голограммии.

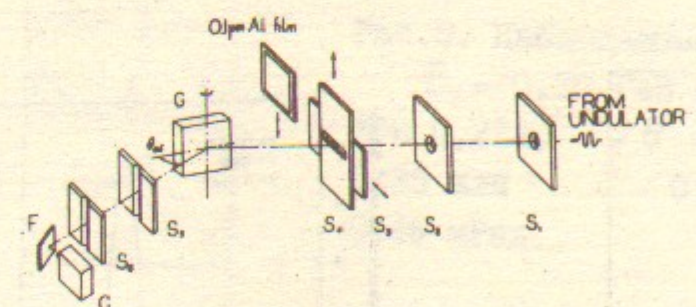


Рис.2. Схема проведения абсолютных измерений спектрально-угловых характеристик ОИ.

Абсолютные измерения спектрально-угловых характеристик ОИ были выполнены с использованием монохроматора скользящего падения (рис.2) со сферической решеткой ( $G$ ) радиуса  $2M$ ,  $R = 600$  шт/мм, покрытой золотом. Угол дифракции  $\theta_{dif} = 5^\circ$  выбран

вследствии того, что при меньшем угле дифракции увеличивается рассеянный фон, а при большем – существенно уменьшается коэффициент отражения дифракционной решетки в первом порядке.

Калибровка монохроматора по длинам волн проводилась по  $\angle_{2,3}$ -краю поглощения  $\text{Al}$  при введении алюминиевой пленки толщины  $\sim 1000 \text{ \AA}$ . Регистрация излучения осуществлялась с помощью канального умножителя (С) ВЭУ-6 с фотокатодом  $\text{CsI}(F)$ .

Монохроматор работает без входной щели, возможность чего обусловлена малыми размерами источника излучения  $\delta_x \times \delta_y = 0,25 \times 0,081 \text{ mm}$  (режим с полной связью  $\mathcal{Z} \sim 1$ ). Коллиматоры  $S_1 S_2$  и  $S_5 S_6$  необходимы для подавления фона, связанного с излучением из краев поворотных магнитов. Как показали спектральные измерения, интенсивность излучения из поворотных магнитов в диапазоне длин волн  $100\text{--}300 \text{ \AA}$  составляет не более 5% от интенсивности ОИ при  $\theta = 0$ . Угловая апертура наблюдения определялась входной диафрагмой ( $S_3 S_4$ )  $0,2 \times 0,2 \text{ mm}$  и расстоянием до источника 555 см и составляла  $0,036 \text{ mRad}$ . Эффективный угловой размер области наблюдения первой гармоники определяется как в (2), таким образом при  $E_e = 510 \text{ MeV}$   $\Delta\theta_{\lambda_1} = 0,32 \text{ mRad}$ , а при  $E_e = 390 \text{ MeV}$   $\Delta\theta_{\lambda_1} = 0,41 \text{ mRad}$ . Как видно, угловая апертура примерно в 10 раз меньше углового размера первой гармоники. Малый угловой размер входной диафрагмы позволил исследовать непосредственно спектрально-угловую плотность ОИ.

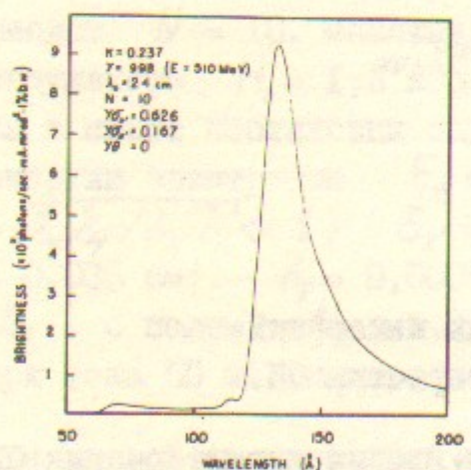


Рис.3. Расчетный спектр ОИ.  
 $E_e = 0,51 \text{ ГэВ}$  ( $\gamma = 998$ ),  
 $K = 0,237$ ,  $\theta = 0$ .

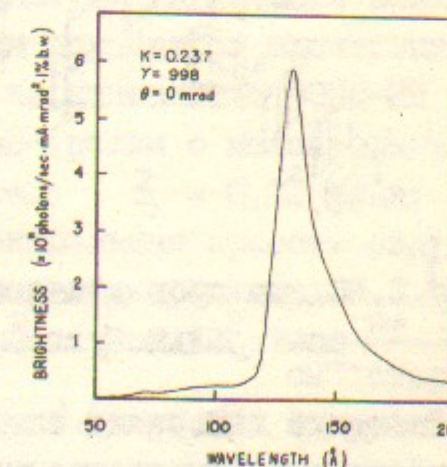


Рис.4. Наблюдаемый спектр ОИ.  
 $E_e = 0,51 \text{ ГэВ}$  ( $\gamma = 998$ ),  $K = 0,237$ ,  $\theta = 0$ .

Угловой разброс электронов в пучке данного накопителя составляет  $\delta_x' = 0,628$ ,  $\delta_y' = 0,167$  на энергии  $E_e = 0,51 \text{ ГэВ}$ . Расчетная кривая спектрально-угловой плотности ОИ, учитывающая угловой разброс электронов и поперечные размеры пучка, приведена на рис.3. Длина волны первой гармоники ОИ  $\lambda_1 = 132,9 \text{ \AA}$ , спектральная ширина  $(\Delta\lambda/\lambda)_1 = 0,144$ , абсолютная спектрально-угловая плотность составляет  $9,3 \cdot 10^{11} \text{ фот/с·мA·mRad}^2 \text{ I\% спек.ширины}$ , что в 1,4 раза выше по сравнению с наблюдаемой (рис.4), которая составляет  $6,5 \cdot 10^{11}$ . СИ из поворотного магнита ВЭПП-2М при  $E_e = 0,51 \text{ ГэВ}$  на той же длине волны составляет  $3,1 \cdot 10^{10}$ , что в 21 раз меньше наблюдаемого ОИ.

Как видно, на измеренном спектре не наблюдается вторая гармоника ОИ. Этот факт связан с малым коэффициентом отражения дифракционной решетки в соответствующей области длин волн излучения. Кроме того, спектрально-угловая плотность второй гармоники ОИ в данном случае в пятьдесят раз меньше первой. Для одновременного наблюдения первой и второй гармоник ОИ измерения были проведены при энергии электронов  $E_e = 0,39 \text{ ГэВ}$ . В этом случае длины волн обоих гармоник ОИ попадают в полосу пропускания используемого монохроматора  $100\text{--}300 \text{ \AA}$ .

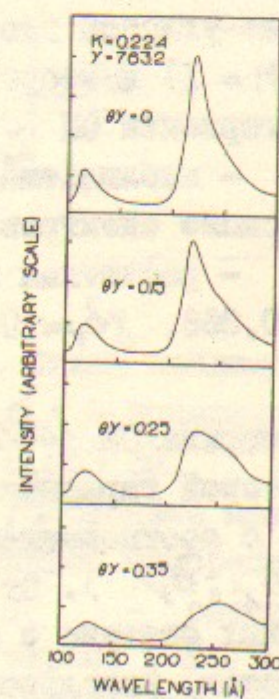


Рис.5. Наблюдаемые спектры ОИ.  
 $E_e = 0,39 \text{ ГэВ}$  ( $\gamma = 763$ ),  
 $K = 0,224$ ,  $\gamma\theta = 0; 0,15; 0,25;$   
 $0,35$  или  $\theta = 0; 0,20; 0,33;$   
 $0,46 \text{ mRad}$ .

Спектры ОИ, полученные при  $E_e = 0,39$  ГэВ ( $\gamma = 763,2$ ),  $K = 0,224$  для  $\theta = 0; 0,20; 0,33; 0,46$  мРад, или  $\gamma\theta = 0; 0,15; 0,25; 0,35$  приведены на рис.5. Спектры не нормированы на коэффициент отражения решетки, поэтому соотношение гармоник на спектре не является истинным. На рис.6 приведена зависимость длины волны первой и второй гармоник ОИ от угла наблюдения  $\theta$ .

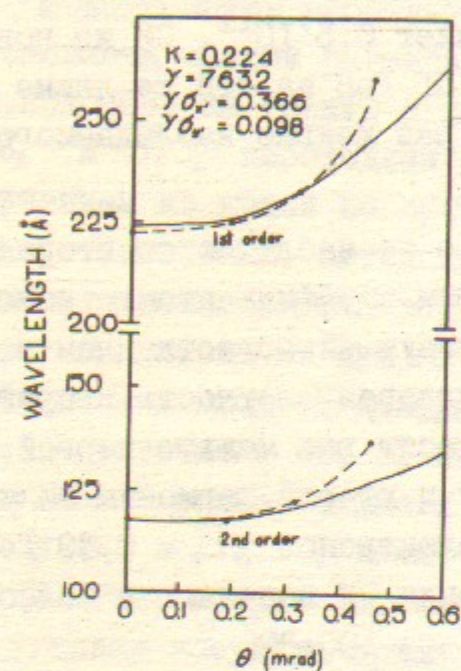


Рис.6. Угловая зависимость длины волны первой ( $n = 1$ ) и второй ( $n = 2$ ) гармоник ОИ.

— наблюдаемая кривая (на основе спектров рис.5)  
— расчетная кривая ( $\gamma\delta_x' = 0,366$ ,  $\gamma\delta_y' = 0,098$ )

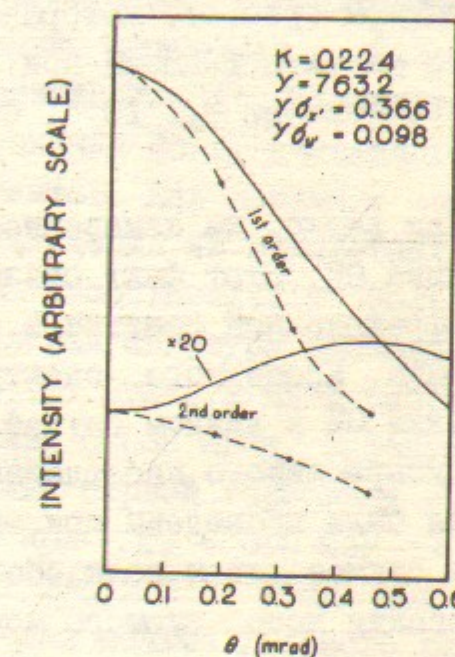


Рис.7. Угловая зависимость спектрально-угловой плотности первой ( $n = 1$ ) и второй ( $n = 2$ ) гармоник ОИ.

— наблюдаемая кривая (на основе спектров рис.5)  
— расчетная кривая ( $\gamma\delta_x' = 0,366$ ,  $\gamma\delta_y' = 0,098$ )

Угловой разброс электронов и спектральная ширина ОИ ( $\Delta\lambda/\lambda_n = 1/Nn$ ) приводят к смещению длины волны первой и второй гармоник ОИ и нарушению зависимости от  $\theta^2$  по сравнению с соотношением (2) в области малых углов наблюдения ( $\theta \ll \delta_x', \delta_y'$ ). Отличие наблюдаемых угловых зависимостей от расчетных связано с неточностью величин углового разброса электронов, использовавшихся в расчетах. Этим же вызвано отличие, наблюдаемое в зависимостях спектрально-угловой плотности ОИ от угла наблюде-

ния  $\theta$ . Полученные кривые нормированы на расчетное значение при  $\theta = 0$ .

Измерения спектрально-угловых характеристик ОИ не обеспечивают непосредственной информацией об эффективном поперечном размере источника излучения, имеющей важное значение при постановке голографических экспериментов. Согласно размерам электронного пучка в накопителе, излучение из спирального ондулятора ВЭШ-2М должно обладать достаточно высокой степенью пространственной когерентности. Для энергии электронов  $E_e = 0,51$  ГэВ при поперечных размерах пучка в ондуляторе  $\delta_x' = 2,36 \cdot d_x = 0,059$  см,  $d_y = 2,36 \cdot \delta_y = 0,019$  см размеры области когерентности на расстоянии  $P = 520$  см от источника составляют  $C_x = \lambda_1 P / d_x = 110$  мкм,  $C_y = \lambda_1 P / d_y = 360$  мкм на длине волны ОИ  $\lambda_1 = 130$  Å. Эксперименты по наблюдению реальной пространственной когерентности ОИ ондулятора ВЭШ-2М проводились методом получения интерференционной картины от двух малых (~ 6 мкм) отверстий в кремниевой мембране толщиной 2 мкм, покрытой 0,3 мкм золота, и последующего увеличения расстояния между отверстиями до исчезновения интерференционных полос.

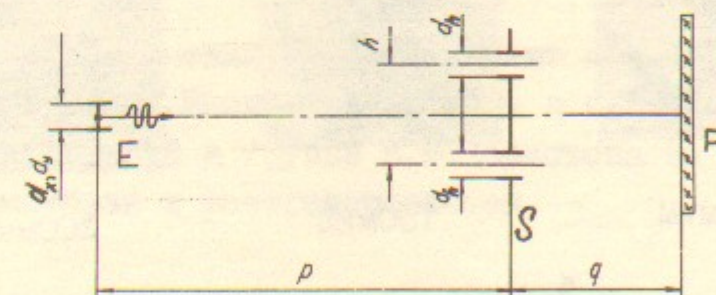


Рис.8. Схема наблюдения пространственной когерентности ОИ.

$d_x$ ,  $d_y$  — поперечные размеры источника излучения (E) ( $d_x = 0,059$  см,  $d_y = 0,019$  см);

$P$  — расстояние между источником (E) и поглощающим экраном (кремниевой мембраной) (S) ( $P = 520$  см);

$h$ ,  $d_h$  — расстояние между отверстиями и диаметр отверстий в экране (S) соответственно ( $d_h \sim 6$  мкм);

$q$  — расстояние между экраном (S) и экраном-регистратором (рентгенорезистором) (R) ( $q = 31$  см).

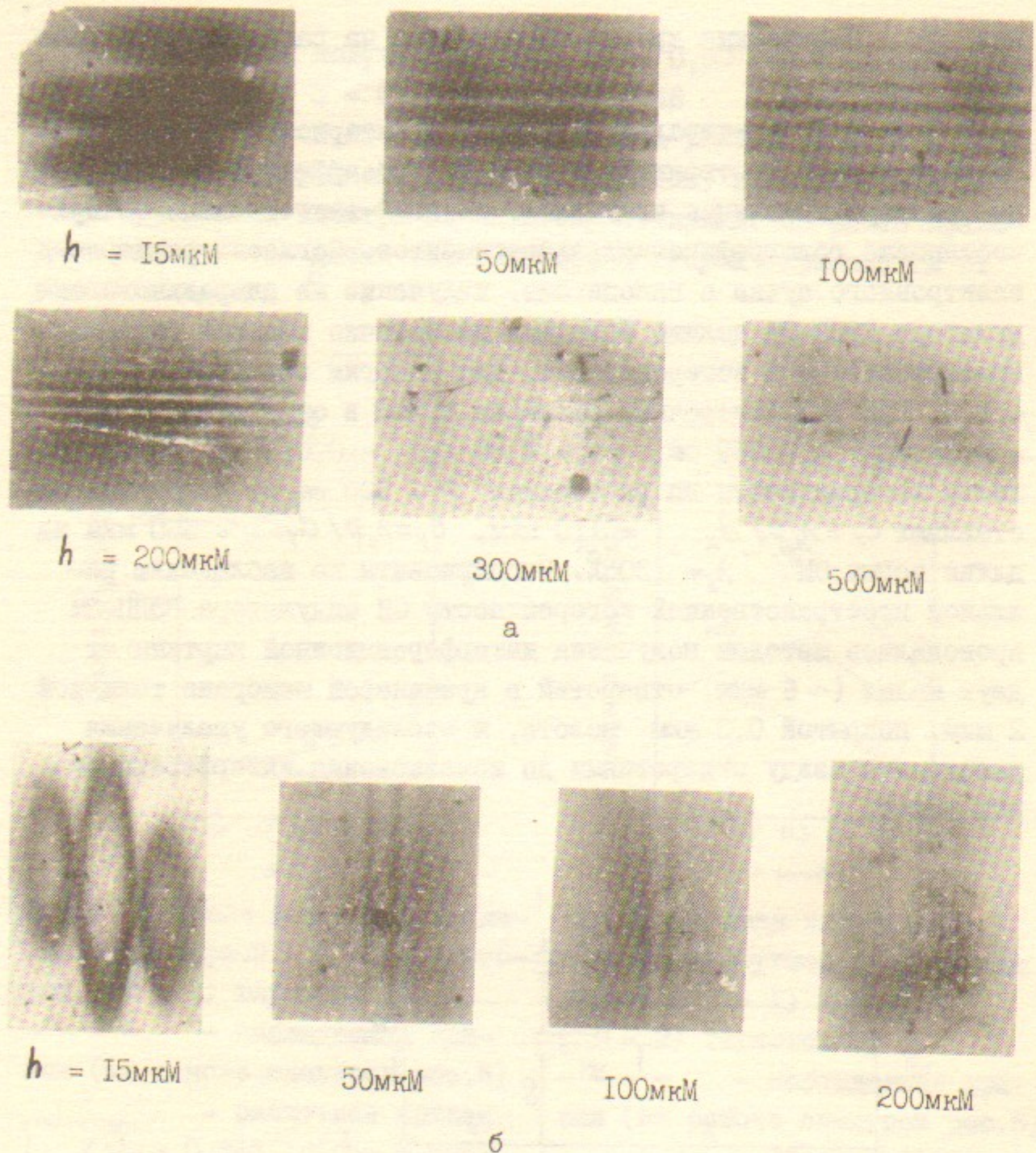


Рис.9. Интерференционные картины, полученные для различных расстояний между отверстиями  $h$  при наблюдении вертикальной (а) и горизонтальной (б) пространственной когерентности ОИ. Типичная экспозиция  $I \cdot t \sim 20 \text{ A} \cdot \text{с}$ .

Оптическая схема экспериментов изображена на рис.8. В качестве экрана-регистратора интерференционной картины использовался негативный рентгенорезист ЭЛН-200 ( $\mathcal{D} \sim 10 \text{ дж/см}^3$ ,  $\mu \sim 10^5 \text{ см}^{-1}$ ), нанесенный слоем толщиной 0,2 мкм на кремниевую основу. В соответствии с описанными выше спектрально-угловыми измерениями, длительность экспозиции рентгенорезиста в данном эксперименте оценивается величиной  $I \cdot t \sim 10 \text{ А} \cdot \text{с}$ , где

$I$  - ток в накопителе. На рис.9 приведены интерференционные картины, полученные для различных расстояний между отверстиями при наблюдении вертикальной (а), горизонтальной (б) пространственной когерентности.

Согласно проделанным оценкам, ОИ удовлетворяет требованиям для использования в рентгеновской голограммической микроскопии. Абсолютные измерения характеристик ОИ из спирального ондулятора, установленного на накопителе ВЭШ-2М, хорошо согласуются с расчетами спектрально-угловой плотности ОИ, учитывающими параметры электронного пучка в накопителе. Эксперименты по наблюдению пространственной когерентности ОИ по схеме Кнга демонстрируют правильность оценок чувствительности рентгенорезиста, использующегося в качестве регистратора интерференционной картины, и величины пространственной когерентности ОИ.

В заключении авторы считают долгом выразить свою благодарность П.М.Иванову за помощь в проведении спектрально-угловых измерений и группе В.В.Чеснокова за изготовление кремниевых мембран и рентгенорезистов.

## Литература

1. R.Feder et al.: *Science*, 197, p. 259, 1977.
2. P.Horowitz, J.A.Howell: *Science*, 178, p. 608, 1972.
3. B.Nieman et al.: *Appl. Opt.*, 15, p. 1882, 1976.
4. B.Nieman et al.: *NIM*, p. 367, 1983.
5. R.P.Haelbich et al. A Scanning Ultrasoft X-ray Microscope with Large Aperture Reflection Optics for Use with Synchrotron Radiation: Preprint DESY SR-79/190, 1979.
  
6. А.М.Кондратенко, А.Н.Скринский: Автометрия, 2, стр.3, 1977.
7. Г.Н.Кулипанов, А.Н.Скринский: УФН, 122, вып.3, стр.369, 1977.
8. S.Kikuta et al.: *Opt. Commun.*, 5, 86, 1972.
9. O.J.Sassoccio: *J. Opt. Soc. Am.*, 57, p. 966, 1967.
- 10.S.Hoki et al.: *Jpn. J. Appl. Phys.*, 13, p. 1385, 1974.
- 11.V.V.Aristov et al.: *Opt. Commun.*, 34, N 3, p. 332, 1980.
- 12.D.F.Alferov et al.: *Part. Acceler.*, 9, p. 223, 1970.
- 13.A.N.Didenko et al.: *Sov. Phys.*, 49, p. 973, 1979.
- 14.A.S.Artamonov et al.: *NIM*, 177, p. 239, 1980.
- 15.H.Maezawa et al.: *NIM*, 208, 151, 1983.
16. Д.Ф.Алферов, Ю.А.Башмаков: "Спектрально-угловые характеристики излучения пучка релятивистских заряженных частиц в ондуляторе", препринт ФИАН СССР, №77, 1983.
17. Г.Я.Кезерашвили и др.: Материалы Всесоюзной конференции по использованию СИ (СИ-82), Новосибирск, 1982.
18. A.M.Kondratenko, A.N.Skrinsky: "The use of radiation from the storage rings in X-ray holography of microobjects", Preprint INP 75-102, Novosibirsk, 1975.
19. E.S.Gluskin et al.: *NIM*, 208, p. 393, 1983.

Е.С.Глускин, П.П.Ильинский, Г.Я.Кезерашвили,  
Г.Н.Кулипанов, В.Ф.Пиндюрин, А.Н.Скрипинский,  
А.С.Соколов

ИССЛЕДОВАНИЕ ИЗЛУЧЕНИЯ ИЗ СПИРАЛЬНОГО ОНДУЛЯТОРА,  
УСТАНОВЛЕННОГО НА НАКОПИТЕЛЕ ВЭШ-2М, КАК ИСТОЧ-  
НИКА ДЛЯ РЕНТГЕНОВСКОЙ МИКРОСКОПИИ И ГОЛОГРАФИИ

Препринт  
№ 83-146

Работа поступила - 22 декабря 1983 г.

Ответственный за выпуск - С.Г.Попов  
Подписано к печати 30.XII-1983 г. № 03516  
Формат бумаги 60x90 I/16 Усл.0,8 печ.л., 0,6 учетно-изд. л.  
Тираж 290 экз. Бесплатно. Заказ № 166

Редактор ИЯФ СО АН СССР, г.Новосибирск, 90